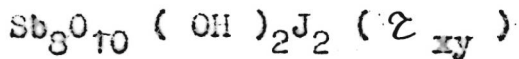


Sb - J

2081-III



1955

Edstrand N.

Arkiv Kemi, 1955, 8, N 3, 279-298
(same)

On the structures of antimony (III) oxide halogenides. IV. The crystal structure of $\text{Sb}_3\text{O}_{10}(\text{OH})_2\text{J}_2$ and isomorphous bromide and chloride

PX., 1956, N 5, 12188

10

2082

JobCl₆ (Z_e, L XYZ)

1959

JAlCl₆ (Z_e, L XYZ)

Vonk Co.G., Wiebenga N.H.

Acta crystallogr., 1959, 12, A 11,
859-866 (*Asur*)

The crystal structure of JobCl₆
and JAlCl₆.

PL., 1960, 56034

10

X4078

1968

JMR, NMR, MF, 88F6

MZK, R, C

10 10

u.s.s.r.

PALEOCENE

Schweisser J., Ludekovič W. Naumovici D.

Sardova ?, Schatzl ?,

Czech. Rep., 1968, 101 (12),

Jodine, trilepicite.



CA 106972, 8, 33918

1969

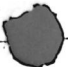
587

Danon Nejat, ugp

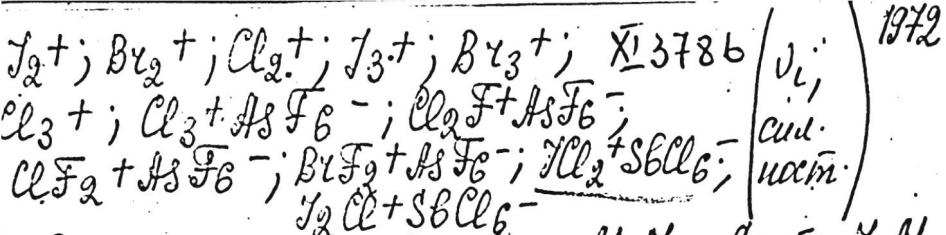
C. R. Acad. Sci., 1969, C269,

N 21, 1249

spars.
noctur.



(Cer. 86 Br) III



Gillespie R.J., Morton M.J., Sowa J.H,

Advan. Raman Spectrosc., 1972,
1, 539-45 (anil.)

Raman spectra of halogen and
interhalogen cations. 9

10



CA, 1973, 79, N26, 1511072

SbI_5^{2-}
(re)

1973

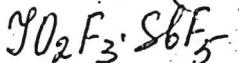
Раман-спектр

Hooper, M.A., et al.
"J. Inorg. Nucl. Chem."
1973, 35(7), 2335-42.

● (cm. $SbBr_5^{2-}$; \overline{III})

41227.4548

TC

29547 (Рашид
е и др.)

1974

4-7740

Carter H.A., Ruddick J.N., Sams J.R.,
 Lubke F. Some reactions of iodine(VII)
 dioxide trifluoride, IO_2F_3 . "Inorg. and
 Nucl. Chem. Lett.", 1975, 11, N 1, 29-
 -34
 (англ.)

0266 ник
0266 ник

244 246

025

ВИНИТИ

41115.7827
TC, Ph, Ch

SPбУСб 96615 02
Раман - спектр

1974
2764

Forneris, R., Tavares-Forneris V.

Vibrational spectrum and structure of
the ICl_2^+ cation.

"J. Mol. Struct.", 1974, 23, N 2, 241-252

(англ.)

0234 пик

212 214 0 2 26

ВИНИТИ

IF₆SbF₆)

XIII-3152

1975

12 Д317. Анализ нормальных координат JF₆SbF₆. Basile L. J., Hohorst F. A., Feggago J. R. A normal coordinate treatment of IF₆SbF₆. «Appl. Spectrosc.», 1975, 29, № 3, 260—261 (англ.)

Получены ИК-спектры поглощения JF₆SbF₆ в области 270—720 см⁻¹. Молекула состоит из 2 ионов JF₆⁺ и SbF₆⁻ с формой, близкой к октаэдрической. Наблюденные полосы отнесены к колебаниям этих ионов. Выполнен расчет частот колебаний ионов с представлением силовых постоянных полем Юри—Бредли, модифицированным полем Юри—Бредли, валентной схемой и модифицированной валентной схемой. Вычисленные частоты иона JF₆⁺ лучше согласуются с опытными данными при использовании полей Юри—Бредли. Применение валентной схемы приводит к результату $\nu_1 > \nu_2$, что противоречит опыту. Обсуждаются вклады силовых постоянных в колебания, рассчитанные по разным схемам. Описание колебаний иона SbF₆⁻ лучше удается при использовании модифицированной валентной схемы. Библ. 8.

М. В. Тонков.

ф. 1975

н 12

JF₆, SbF₆

XIII-3152

1975

23 Б277. Анализ нормальных координат JF_6SbF_6 . Basile L. J., Hohorst F. A., Ferrago J. R. A normal coordinate treatment of JF_6SbF_6 . «Appl. Spectrosc.», 1975, 29, № 3, 260—261 (англ.)

Проведен анализ нормальных координат JF_6SbF_6 . Вычислены силовые постоянные для 4 вариантов силового поля: типа Юри—Бредли (ПЮБ); модифицированного поля Юри—Бредли (МПЮБ), орбитального валентно-силового поля (ОВСП) и модифицированного орбитального валентно-силового поля (МОВСП). Уточнение силовых постоянных проводили методом наименьших квадратов до наилучшего согласия вычисленных и эксперим. частот. Для JF_6^+ лучшее согласие между вычисленными и эксперим. частотами v_1 , v и v_3 достигнуто при использовании ПЮБ и МПЮБ, причем $v_1 < v_2$. Для деф. частот v_4 , v_5 и v_6 лучшее согласие достигнуто при использовании ОВСП и МОВСП. Аналогичный результат получен ранее для др. гексагалогенидов. Для вал. и деф. форм SbF_6^- наилучшим является МОВСП, что согласуется с аналогичными данными по PF_6^- , AsF_6^- , PCl_6^- и SbCl_6^- .

Е. Разумова

X 1975 № 23

60608.1241

Ch, TC

(U.K. скрип)

40534

$\text{IF}_6^+ \text{SbF}_6^-$

1976

XU-13194

Stein Lawrence
Hohorst Frederick A. Gebert

Elizabeth. Hexafluoroiodine(VII)hexafluoroantimonate(V). ($\text{IF}_6^+ \text{SbF}_6^-$). "Inorg. Chem.", 1975, 14, N9, 2233-2236 (англ.)

0631 ник

616 617 623

ВИНИТИ

Sb I₅

Kothekar V.

1976

"J. Quantum Chem" 1976,

10, N6, 993-1005 (austr.
phys. off. rev.)

parrem
злекимп.
относущ

(если Sn F₄; III)

SB J₆³⁻

#43-17079

1976

Samuel N. K., et al.

American J. Phys. 1976,
50(4), 483-7.

(err. note)

(all Sb Cl₆)³⁻_{III}

$\text{YOF}_5 \cdot \text{SbF}_5$ commen 6811 1978

Brownstein et al., et al.

Рашан
Сникерп

Can. J. Chem. 1978,

56, 2253 - 58

SbV_5^{2-}

1978

Gimarc B. et al.

J. Am. Chem. Soc. 1978,
100(8), 2346-53

Электрон
структур
расчет



cell. $AlF_5^{2-} \text{--} III$

Sb₄^y

1078

pateratus ad.
empyxi.

Gimarc, B.M. et al.
J. Phys. Chem. Soc. 1970, 100(8),
2317-50

att. Cl F₄ + III

SB 95

[OM-36909]

1992

komplex, Freidung J., Thiel W.,
korstan
macromat,
lik uster-
cifrocr,
all. none,
ab initio
pacem

J. Comput. Chem.,
1992, 13, N 2, 165-176

2000

F: Sb2I10

P: 3

134:242937 Analysis of electronic structure and quadrupole coupling in dimeric transition and nontransition halides in terms of the density functional theory. Poleshchuk, O. Kh.; Koput, Ya.; Latoshinska, I. N.; Nogai, B.; Shanina, Yu. A. Tomsk State Pedagogical Institute, Tomsk, Russia. Russ. J. Coord. Chem. (2000), 26(11), 784-791. in English.

The electronic structure of dimeric M₂X₆ (M = Al, Ga, In, I; X = F, Cl, Br, I) and M₂X₁₀ (M = Sb, Nb; X = Cl, Br, I) was analyzed using the d. functional theory. The calcd. parameters of the NQR spectra were compared with the exptl. values. Binding of the bridging and terminal halogen atoms was examt. using the natural orbitals of the metal-halogen bond. The inversion of the halogen NQR frequencies for the compds. of transition and nontransition elements is explained.

Бэлг

(ОМ. 41384)

2001

Полежчек О. Kh. et al;
МЕКМРОХ.
СНГ-РА, г. Мол. Тагиц.
Казенное. (Theochem) 2001
Баланс
579, . 233-243